

長崎大学工学部 正会員 村山 郁郎
・道広一利
大阪工業大学院 学会員 坂上 敏秀

▶はじめに

従来的な方法による構成式の説明選擇において、その妥当性を立証するには、AEを検査するための、従来的現象Eとらぶる実験が望まれるが、今までには、砂の粒子状態を見るための一連の実験方法のほか、まだあまり開発されたものがみられない。そのため、村山は、粒子運動の観測手段として、砂粒子の移動によることを用いた Acoustic Emission(砂粒子間の摩擦などによる、放出される微震音響 以後AEと書く)を利用してこの意義と適用性E述べた。

本報告は、この意味において、砂のせん断中のAE検出、砂の状態と力学特性、塑性、破壊の三状態の存在すること、AEから推測した各状態ごとの砂粒子の運動特性を、さきに述べた砂の構成式による特性と対比して考察した。また、応力履歴がAEのカイザーエフェクトにおける影響を調べて、砂に対するカイザーエフェクトの特徴を明らかにした。

▶試料、実験装置、実験方法

試料は豊浦産の標準砂で、 0.420mm フルイを通過し、 0.105mm フルイに残り、乾燥砂と砂粒子の比重は 2.60 を使用した。実験装置は、ブローワクタイヤグラムで、Fig.1に示す。この図において、せん断試験装置は、横 148.0mm 、高 298.5mm 、全高 79.5mm のせん断機とモーター駆動せん断機である。AE検出用トランジスタは、共振周波数 400kHz のジルコニア酸化物を使用した。

プリアンプは、オルタード増幅機能を有し、今回の実験においては、H.P.F (High Pass Filter) 10kHz 、利得 40db に固定した。ディスクリミネータは、オルタード増幅機能を有し、それと、オルタードH.P.F 20kHz 、L.P.F (Low Pass Filter) 80kHz 、利得 30db 、閾値 $80mV$ 、 $120mV$ 、 $140mV$ 、 $180mV$ の四段階、ハーフセグメントで実験を行なった。カウンターにあるゲートの $1/\text{sec}$ 間ににおける周囲時間は、 $0.4\sim 4.0\text{sec}$ 、 0.5sec としたので、カウンターに計測される波は、周波数領域 $20\text{Hz} \sim 80\text{kHz}$ 、 1ゲート 、各々の閾値を越えた各 0.5sec 間に受けたパルスが单位時間当たりの個数として、デジタル方式で記録されていく。また、ウェーブメモリにより入力された波の波形を記憶させ、オシロスコープおよびヤンレコニアによって、AEの波形観測を行なった。

せん断試験は、ひずみ制御方式で、垂直応力は各 $test$ ともつねに一定とし、ある一定のせん断応力を振幅でもえて繰り返し、各回の残留変位の差がほぼ 0.1 となるまで行い、このときの砂の状態を弹性とした。つまり、こので以上にせん断応力を増加し、塑性状態を経て破壊状態に達するようになつた。これらの各せん断に際して、せん断箱底に埋めこんだセンサーによつてAEの受信を行なつた。

▶実験結果および考察

Fig.3は、破壊強度以下の一定のせん断応力を繰り返し載荷し、各回の残留変位の差が 0.1 になるまで行い、その状態を砂の弹性状態とし、試

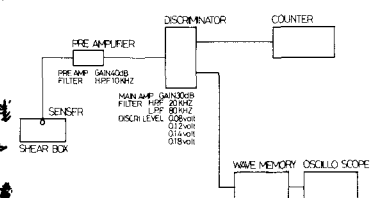


Fig. 1

プリアンプ	
利得	20, 40 dB
フィルター	ハイパスフィルター 10 kHz, FLAT
增幅子	無
ワイアント	利得 10, 20, 30, 40dB
フィルター	ハイパスフィルター 20, 50, 100, 200 kHz
カットオフ	50, 100, 200, FLAT Hz
ディスクリミネータ	0 ~ 1 V
電源	AC 100 V
カウント	カウント
計数容量	10 進 6 回
表示方式	数字表示と記憶表示
表示時間	2 s 0.5 s
電源	AC 100 V
波形記憶装置	波形記憶装置
周波数範囲	DC 0 ~ 250 kHz
電圧	AC 100 V
オシロスコープ	オシロスコープ
周波数範囲	DC 0 ~ 15 MHz
電圧	0.1 mV

Fig. 2

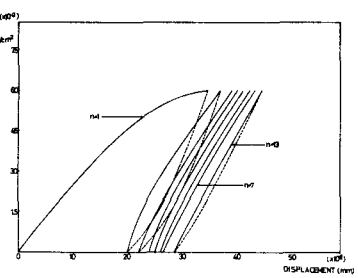


Fig. 3

驗に際してこの砂の標準状態とした。また、さきに述べた弹性状態と「う意味における繰り返せん断時の、繰り返し回数と各回数における、所定のせん断力載荷時の変位および除荷時の残留変位 δ （変位は初期状態を基準とする）の関係は、それらがFig. 4 の L 騒群および R 騒群として示す、これらも砂が塑性状態に近づく過程を示す。Fig. 5 は、式(1)の剛体モデルの剛体を示したものであり、この図の剛体の直線性より、式(1)の妥当性をうがわわる。 $\frac{\tau}{\delta} = a + bn \quad (1) \quad a, b: \text{constants}$
また、式(1)において、繰り返し回数 n と無限大にしたときの水平変位は、 $\frac{1}{n}$ の値とともに増加する。 τ は n に増加し、砂が塑性状態に移行したときの水平塑性変位 δ_p ($= \delta - \delta_{el}$) と塑性限界以上のせん断応力($\tau - \tau_{el}$)の関係と、塑性状態の砂の構成式³⁾ すなはち、次記の式(2)の剛体を画いたものはFig. 6 となる。（ここで、 δ_{el} 、 τ_{el} ：繰り返せん断により弾性へ達した後の残留水平変位とせん断応力） $\frac{\tau - \tau_{el}}{\delta_p} = \frac{\tau_0}{R} - \frac{\tau}{R} \quad (2) \quad R, \tau_0: \text{constants}$

この図は、ほぼ直線の傾きの面積を示すものとみる、砂が弾性状態から塑性状態に移行していくと、この傾きが増加する。Fig. 7 は、弾性状態への移行過程 E、各繰り返し載荷ごとの A-E 累計数(EZ) と残留変位の関係を示すものである。この図によると、残留変位の増加、したがって残留変位の増加率の減少と共に、A-E 累計数も減少するのみで、砂が塑性状態に近づくにつれて、A-E 発生数は少くなり、ついで消失する。このことは、砂が塑性状態に近づくにつれて Kaiser 効果が表れ、Kaiser 効果の発達過程すなはち、砂の弾性状態の移行過程を示すものと思われる。Fig. 8 は、応力-水平変位と、A-E 累計数-水平変位との対比を示したものである。この図によると、応力-水平変位剛体の立ち上がりが急激なのは、砂を繰り返せん断し直後、すなはち Fig. 3 で示した最終的除荷時を原点としているためである。この図のようば、A-E 発生特性線は、二つの転点とも S、S' が転点は、砂の強度、塑性および破壊の各状態の境界とよく一致しており、これがより、A-E の発生特性は、砂の弾性状態による相違するところである。また、A-E 累計数-水平変位剛体は、各領域において、ほぼ直線性を示す。変位ひずみ中で発生する A-E の数が、変位ひずみが生ずるために移動する量に比例するとすれば、この S と S' 間の 1 個の平均移動距離は各領域ごとに一定であるといふ。以上より、村山の求めた砂の構成式⁴⁾ に用いた仮説の一部がこの A-E の実験によつて立証されたと言えよう。

また、A-E 発生時にあけるエネルギー量の測定ならびに詳しく述べ難いが、この A-E 装置はこの御報告を受け、また、実験には、筑波大学学生、大庭浩司、ニ富津えぬの協力を得、ここに深謝の意を表わす次第である。

謝辞

本研究にあたりては、京都大学小林昭一教授へ、A-E 装置についての御教導を受け、また、実験には、筑波大学学生、大庭浩司、ニ富津えぬの協力を得、ここに深謝の意を表わす次第である。

参考文献

1,2,3,4) S. MURAYAMA: IX ICSME Constitutive Equations of Soils

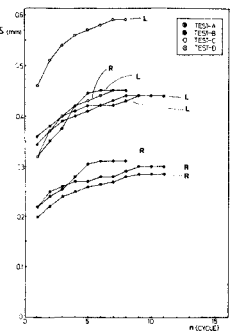


Fig. 4

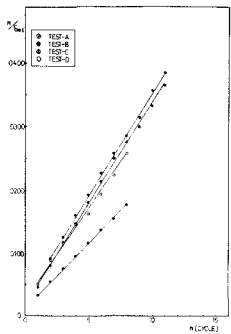


Fig. 5

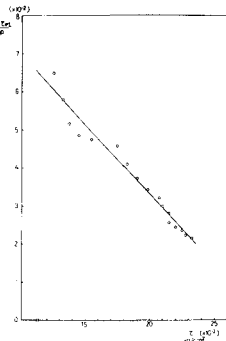


Fig. 6

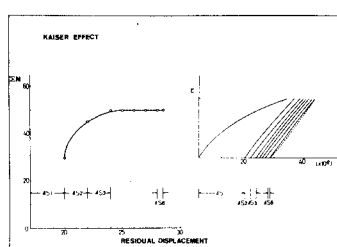


Fig. 7

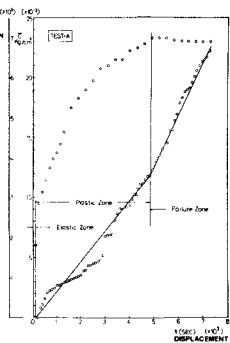


Fig. 8